

北京医科大学 科学技术成果汇编

一九八〇—一九八五

(上)

北京医科大学科研处

说 明

为促进科技成果的交流和推广应用，特将我校1980—1985年度获市级以上成果奖项目的内容做简要介绍。此汇编共包括135项成果的内容摘要及获奖级别。此外将1982—1985年发表的论文题录附上。由于时间仓促和缺欠经验难免有错误或遗漏，请读者批评指正。

北京医科大学科研处

一九八六年六月

目 录

1980~1985年获奖成果内容摘要

1. 双氰酯型釉质粘合剂的研究..... (1)
2. 固相放免法检测血清中HBeAg..... (1)
3. 尸体肾移植..... (2)
4. 胃癌流行病学病因学综合考察..... (2)
5. 寄生性头部连胎一例报告..... (3)
6. 肠腔静脉侧侧吻合术..... (4)
7. 职业性真菌病..... (4)
8. 真皮脂肪瓣移植术在眼窝整形中的应用..... (5)
9. 中西医结合治疗胆道手术后残余结石..... (6)
10. 卵巢肿瘤8274例分类及予后有关因素分析..... (6)
11. 儿童弱视治疗..... (7)
12. 急性缺血性脑血管病时血小板聚集性观察..... (7)
13. 特异性免疫沉淀法检测血清中HBV Dane颗粒DNA聚合酶..... (8)
14. 镇静催眠药三唑氯安定的合成..... (8)
15. 北京恶性肿瘤地图集..... (9)
16. 乙型肝炎疫苗的研究及有关分析测试方法技术的建立..... (9)
17. 致病的自由生活阿米巴..... (10)
18. LH—RH抗生育作用的机理研究..... (11)
19. 实验性心肌梗塞心肌内血管的变化..... (11)
20. 免疫复合物的测定及临床应用..... (12)
21. 经“T”管窦道应用纤维胆道镜治疗胆道术后残余结石..... (13)
22. 4631例健康人尿常规检查值探讨..... (13)
23. 免疫荧光技术在肾小球疾病中的应用..... (14)
24. 运动员减体重期服用强化剂效果的实验观察..... (14)
25. 苯、甲苯、二甲苯及混合苯作业工人健康状况调查..... (15)
26. 血清胃泌素放射免疫测定法..... (16)
27. 一种新的实验性动物癫痫模型..... (16)
28. 国产细辛属植物中挥发油的成分鉴定..... (17)
29. 中国大黄属植物..... (17)
30. Rivanol中期妊娠引产对胎盘组织学和组织化学的影响..... (18)
31. 活血化瘀对血小板聚集的影响..... (18)
32. 145例畸形儿随访分析..... (19)
33. 罗布麻叶浸膏香烟烟雾急性毒性的初步实验研究..... (20)
34. 造血干细胞的研究..... (20)

35. 乳腺癌高危人群的研究	(21)
36. 3', 5'-CAMP对不同瘤龄的艾氏腹水癌细胞内 CAMP免疫荧光细胞化学反应及其二酯酶的细胞化学反应与癌细胞膜表面某些形态学变化的关系	(22)
37. ^{99m} Tc标记硫化锑胶体的制备、动物实验及淋巴扫描的初步观察	(22)
38. 环托式活动矫正器	(23)
39. 放射自显影术的研究	(24)
40. 人肠粘液腺癌裸鼠移植瘤及其生物学特性的研究	(25)
41. 酚苄明及新斯的明对前列腺增生相对排尿阻力的影响	(26)
42. 硅胶胶修补关节软骨缺损的实验研究	(27)
43. 液氮储存后的异体关节软骨移植的实验研究	(28)
44. 《中国植物志》第七卷	(29)
45. 释出度及生物利用度的研究	(30)
46. 硫酸钡混悬剂(钡餐)的研究	(31)
47. 安定合成新路线	(31)
48. 血清抗-HBcIgM固相免疫检测方法及其临床意义的研究	(33)
49. 高灵敏度(10 ⁻¹⁵ M)的CGMP放射免疫测定法—A蛋白为分离试剂	(33)
50. 抗癫痫药物血浓度测定的临床应用	(35)
51. 外科正畸各种牙颌畸形(62例总结)	(35)
52. 智齿口外X线投照方法	(36)
53. 乳腺X线干板十种征象对乳癌的诊断价值	(36)
54. 超声引导针吸细胞学检查对腹部肿瘤诊断的应用	(37)
55. 管蛋白抗体的制备及微管免疫荧光细胞化学方法的改进	(37)
56. 提高胃癌手术疗效的研究	(38)
57. 微波灭活实验设备	(38)
58. 胸腺激素对淋巴细胞免疫功能调节的研究: 胸腺素F ₅ 对有丝分裂原诱导下小鼠胸腺细胞增殖反应的影响	(39)
59. ³² P HBV DNA探针的制备	(39)
60. 呋苄青霉素对产酶耐药性杆菌抗菌作用研究	(40)
61. 血卟啉激光治疗口腔颌面部肿瘤	(41)
62. Bcap—37人体乳癌细胞系的建立及其特性观察研究	(42)
63. 机体对自身释放的单胺类递质发生耐受是引起针刺镇痛耐受的一个重要机理	(42)
64. 针刺麻醉在前路颈椎手术中的临床应用与研究	(43)
65. 北京市郊区基层卫生保健中的精神卫生——郊区模式	(44)
66. 血管造影在口腔颌面部血管瘤的临床应用	(45)
67. β-内啡肽放射免疫测定法的建立及其在针刺镇痛原理研究中的初步应用	(45)
68. 由人胎盘制备的组织凝血活酶测定血浆凝血酶元时间	(46)
69. 人体胃癌细胞系BGC—823的建立	(46)
70. MBD儿童流行病学临床特点调查及尿MHPG·SO ₄ 测定	(47)
71. 游离组织瓣移植修复口腔颌面部组织缺损	(48)

72.胆道系疾病的超声显像 诊断研究.....	(48)
73.抗胃癌细胞单克隆抗体PCI的制备及鉴定.....	(49)
74.WYH—1型荧光漂白恢复测定仪及细胞表面膜分子侧向运动实验技术的研究.....	(49)
75.T淋巴细胞在胸腺内的功能发育.....	(50)
76.螺旋脂质的研究.....	(50)
77.儿童弱视的治疗和立体视.....	(51)
78.中枢微量注射抗体法——研究神经肽生理功能的新方法.....	(52)
79.颞下颌关节紊乱综合征的X线诊断研究.....	(53)
80.裸鼠体内建立的人类高转移癌系.....	(54)
81.国内十二地区精神疾病流行病学抽样调查研究.....	(54)
82.视神经乳头的微血管构筑.....	(56)
83.关于人颅面生长发育的X线头影测量的研究.....	(57)
84.含钙尿石形成的尿危险因素及其临床意义.....	(57)
85.脱落细胞学在口腔粘膜疾患诊断中的应用.....	(58)
86.口腔扁平苔藓和白斑的超微结构研究.....	(59)
87.微孔滤膜固相免疫法检测HBeAg和抗—HBe.....	(61)
88.速发型变态反应的诊治与免疫调节研究.....	(61)
89.腐植酶对胃溃疡的防治作用及其机制的研究.....	(62)
90.生物控制论在医学中的应用.....	(63)
91.经尿道超声断层显象膀胱肿瘤分期.....	(63)
92.乳癌普查系统的建立与 λ —C肿瘤特检车的研制.....	(64)
93.母婴传播的研究及HBIG乙型肝炎疫苗阻断效果的观察.....	(65)
94.液电冲击波(经尿道)膀胱碎石技术.....	(65)
95.骨巨细胞瘤组织块的冻存与复温观察.....	(66)
96.尿中苯并(a)芘的测定方法及应用.....	(67)
97.胃速乐片的研制.....	(68)
98.电子计算机技术在口腔正畸学科的应用.....	(68)
99.胰腺癌灰阶超声诊断52例分析.....	(69)
100.654—2(山莨菪碱)对家兔儿种实验性休克的疗效及其抗休克机理分析.....	(69)
101.电针过程中脑内兼有调节疼痛和血压机能核团之间协调活动.....	(70)
102.应分析技术在口腔医学中的应用.....	(71)
103.胸腺激素在肿瘤免疫中作用的研究及生物活性测定新方法的建立.....	(72)
104.异基因骨髓移植在治疗白血病中的应用.....	(72)
105.北京地区农村住宅日照卫生标准的研究.....	(73)
106.运动员末端病防治研究.....	(74)
107.运动员饮料的研制.....	(75)
108.对运动员心电图的评价.....	(76)
109.运动员贫血的研究.....	(76)
110.运动员血尿的临床特点和诊断.....	(77)

111. 女子体操运动员控制体重情况下的体成分和营养研究.....	(77)
112. 骨骺慢性损伤实验病理研究.....	(78)
113. 腭骨软骨病的病理探讨.....	(79)
114. 液电冲击波体外破碎肾结石技术.....	(79)
115. 实验性肾炎模型系列的建立及应用.....	(80)
116. 乙型肝炎病毒基因组 (adr亚型) 分子克隆及“C”基因、“S” 基因亚克隆的建立.....	(82)
117. 经尿道切除瘢痕及包皮植入尿道成形术治疗后尿道狭窄.....	(84)
118. 口腔正畸方丝弓细丝弓矫正技术.....	(84)
119. 体外循环泵压监测及自动减压器.....	(86)
120. 体外循环血平面自动监控装置.....	(87)
121. 前牙反骀的早期矫治.....	(88)
122. 扫描电镜、相差显微镜、光镜高倍视野在鉴别血尿来源上的系列应用.....	(88)
123. 喉气管外伤和瘢痕狭窄的治疗.....	(89)
124. 医学图形电子计算机辅助分析系统.....	(90)
125. 聚白蛋白受体检测方法的建立 (RIA法及血凝法) 临床意义的观 察及试剂盒的供应.....	(92)
126. 呋喃唑酮治疗消化性溃疡的研究.....	(93)
127. 新抗凝联合疗法治疗难治的晚期狼疮肾炎.....	(94)
128. 中枢神经系统的功能和受体自显影定位显示术的建立及其在针刺 研究中的应用.....	(95)
129. 左旋18甲基炔诺酮的体内过程及药代动力学研究.....	(98)
130. 射频辐射对脑电图影响的计算机分析.....	(99)
131. 多状态生存分析.....	(99)
132. SIF细胞的细胞学特性.....	(100)
133. 脑—肠肽在消化和代谢调节中的作用.....	(101)
134. 消痔灵注射治疗三期内痔的临床与实验研究.....	(102)
135. 苯酮尿症新生儿筛查.....	(103)
附: 1982~1985年发表论文题录.....	(104)

双氰酯型釉质粘合剂的研究

徐恒昌、王 同、王鸿颖

(口腔医学研究所 口腔材料研究室)

双氰酯型釉质粘合剂是由 α -氰基丙烯酸丙烯酯和双(α -氰基丙烯酸)乙二醇酯为主要成份组成的。用于粘着橡胶(或自凝树脂)附件于牙面上,为下颌骨折患者进行颌间牵引固定。在口腔内固化时间为一分钟。此项研究的目的是简化原有铝丝夹板固定法,降低操作难度,减少治疗过程中患者的痛苦。在本研究中,成功地合成了双(α -氰基丙烯酸)乙二醇酯,做为改性剂,明显地提高了原有氰基丙烯酸酯粘剂的抗老化性能,达到了临床使用要求。在本研究中,还设计研制了专用的橡胶附件。由于附件本身具有弹性,所以它具有对口腔粘膜刺激性少,粘合面受力均匀,患者较为舒适等优点。到目前为止,在国外专科杂志上没有见到有关双氰酯型粘合剂粘着橡胶附件治疗下颌骨折的文献报导。毒理:经北医卫生系毒理教研室做小白鼠急性中毒实验,结果基本无毒。目前临床试用百余例,效果良好。

(获1980年北京市科技成果二等奖)

固相放免法检测血清中HBcAg

陶其敏 李新富 冯百芳 王金琪 杜绍财 刘玉贞

(北京医科大学肝病研究所)

七十年代对血清中HBsAg的研究做了大量工作,取得一定进展,但在乙肝的发病机制、病情转归及传染性等方面的观察,HBcAg比HBsAg重要得多。但血清中无游离的HBcAg,那么检测HBcAg则需要肝组织进行,这就大大限制了普及应用。近年来虽有少数外国学者摸索血清中HBcAg的检测方法,但都需用特殊仪器或方法不够敏感。

本方法主要采用抗原、抗体复合物的原理,在待检标本中加入过量的抗-HBs,使Dane颗粒沉淀下来,再用适量的NP-40打开其外壳,使HBcAg释放出来进行检测。

此法的建立,采用固相放免法较为敏感,特异性、重复性均好。由于不用超速离心机,便于临床推广应用,对今后乙肝的流行病学、病毒学、临床的发病机理研究等方面,提供了有利的工具。该方法在国内是首次建立,国外近几年虽有少数报导HBcAg的检测,但方法复杂需要贵重仪器等。我们应用抗原、抗体复合物的原理及NP-40等在方法上有所创新,国外无同样报导。

(于1980年获北京市科技成果二等奖。)

尸体肾移植

吴阶平 郭应禄

(北京医科大学泌尿外科研究所)

一、临床工作

1. 1960年3月在国内首先开展2例尸体肾移植 技术上成功。为我国肾移植工作打下良好基础。

2. 1977~1979年做肾移植17例

<6月	4例	} 存活一年以上8例
6—12月	5例	
1~2年	3例	
2~3年	4例	
>3年	1例	

在当时建况下，达到国内先进水平。长期存活的病例不但可恢复工作，还有结婚生育子女者。

二、实验研究工作

1. 开展组织配型工作，为本院及兄弟医院做术前配型。
2. 排异反应的早期诊断研究。方法达9种之多，使排异反应诊断率达90%以上。
3. 较早的在国内开展大鼠肾脏移植模型实验成功 为进一步研究创立了条件。

(获1980年北京市科技成果二等奖)

胃癌流行病学病因学综合考察

张汝麒、周锦俊、孙鹤龄、金懋林、陶素婧

(北京市肿瘤研究所)

我国胃癌死亡率占全部癌亡的23.03%，居各类恶性肿瘤死因的第一位。但胃癌的病因及在我国的流行规律不清。本研究通过多学科大协作于1978~1980年在全国3个省、市、自治区的6个胃癌高发点，4个胃癌低发点，总面积(按县)约2000余平方公里，人口493.5万的地区内进行了胃癌流行病学、病因学综合考察，获得大量资料和数据。阶段统计结果表明：

(一) 我国胃癌分布有一定地理特点。高发区皆位于黄河上游、河西走廊、长江下游、闽江口及木兰溪下游，并皆在深大断层上方或一侧。而低发区皆位于长江上游及珠江水系的石灰岩地带，局部无深大断层。(二) 胃癌的发生与胃病史、饮食不规律、食用霉粮、咸鱼、生面酱、虾酱、熏腊肉、高盐含量及吸烟、饮酒、精神创伤有显著正相关，而与新鲜蔬菜、豆制品及蛋类摄入量少呈显著负相关。(三) 胃癌高发区慢性胃炎调整患病率明显高于低发区。

萎缩性胃炎调整患病率与胃癌调整死亡率呈明显正相关。(四)胃癌高发区慢性胃病患者空腹胃液 NO_2^- (N-亚硝基化合物前体)含量明显高于低发区且与胃癌调整死亡率呈非常明显正相关。 NO_2^- 含量增高是慢性胃炎造成胃液游离酸含量减少、pH升高、硝酸盐还原菌数量增加使 NO_3^- 大量还原的结果。这给胃内合成致癌N-亚硝基化合物创造了极为有利条件,并可能是胃癌的重要病因。(五)各考察点主、付食及胃内真菌污染严重,检出率最高者为杂色曲霉,胃癌高发区明显高于低发区并与胃粘膜病变及 NO_2^- 含量呈明显正相关。真菌毒素及其代谢产物在胃癌病因中可能也起重要作用。(六)根据研究结果提出了我国胃癌可疑病因及发病的模式图和判断胃癌易感人群的综合指标并提出了胃癌的预防原则。填补了我国胃癌研究的一项空白。

(获1980年北京市科学技术成果二等奖)

寄生性头部连胎一例报告

王大玫 李秉权 李 杰

男, 35, 患先天性寄生性头部连胎畸形住院。病人系先天性耳聋, 用手势回答问题。在主头右侧面部、左耳轮与右外眦、颞窝与下颌下缘间有一与主头约呈直角的副头。头顶上被有光亮头发的松弛头皮, 颅骨根部呈沟与主头颞鳞相连。在其两侧各有一眼眶。右上、下眼睑粘连留有小孔, 挤压时有约1cc脓性分泌物溢出。未触及眼球, 左侧眼睑无睑裂, 有睫毛。中可触及黄豆大中等硬度的活动肿物, 两眼内眦间距宽达60mm, 在主、副头交界处可触及眉弓和两条细长眉毛, 未见外鼻。上唇结构发育良好。无下唇和下颌, 上颌骨与主头上颌骨及颞弓相融合, 上颌牙槽骨与硬腭前部突出口裂。并有12枚牙齿。上有牙石。口腔深面为盲端, 硬腭下有一细长小舌, 用压舌板压小舌根部时有恶心反射、颊粘膜处有腮腺导管口, 右侧者还有唾液溢出。

主头面部两侧发育不对称呈现第一、二鳃弓症候群, 右上睑下垂, 外眦裂、弱视、额纹、颞肌缺如, 右颞窝额纹明显, 右咬肌力弱, 鼻唇沟浅, 右颞颌关节前脱位, 下颌支短, 右外耳小耳畸形左鼓膜内陷。主、副头有明显的同步运动, 副头表情比主头明显。饮食时自副口有粘稠唾液溢出。舌的同步运动不明显。脊柱示 T_1, L_1, L_2 后突畸形。

脑的各项特殊检查示副头内似有脑组织。

肌电图、X线头颅平片、脊柱侧位片、腮腺造影等符合临床所见, 头颅许氏位等示右侧外耳道和中耳缺如。右颈总动脉造影示颈外动脉一分支穿经副头基底部的的小孔入副头内。

于1979年12月, 行副头切除术和修复术后经过良好, 三月后回乡参加生产劳动。

术后标本切片证实确系寄生胎, 而非畸胎瘤。

(获云南省1980年科技成果二等奖)

肠腔静脉侧侧吻合术

张挽华

(第三医院外科)

自1977年以来,为门脉高压症患者连续施行了85例肠腔静脉侧侧分流术,包括5例急诊手术。男性66例,女性15例,年龄在19~58岁之间,平均39.8岁。90%病例有大量食管胃出血史,61.2%有多次大出血史。17例既往施行过治疗门脉高压症手术,其中单纯脾切除术7例,脾肾端侧分流术4例,门脉分流术2例,门奇静脉断流术2例,胃近端横断术2例。按Child氏分级,B级43例,C级24例,B和C级占全部病例四分之三。术前钡餐检查,45例属重度食管静脉曲张(超过食管中、下1/3),24例为中度静脉曲张(超过食管下1/3)。34例存在腹水。

施行肠腔静脉侧侧分流术的成功率为98.8%。按照作者设计手术步骤,肠系膜上静脉与下腔静脉之间的距离,可以通过缝合肠系膜上动脉鞘和下腔静脉内前方的结缔组织而满意地得到缩短。吻合口的平均长度为1.31cm。门脉压平均降低7.37cm水柱。

82例随诊3个月至8年,其中32例随诊到3年,19例随诊到5年以上。随诊率为96.5%。30天住院死亡率为2.4%。术后无严重并发症。在随诊的病例中有3例死亡,4例死于肝功能衰竭,2例死于再出血,另2例死于其他原因。在存活的病例中,3例发生过肝性脑病,5例出现过食管胃底再出血,腹水2例,下腿水肿3例。未行脾切除的病例中,脾脏见明显缩小者计15例。

着重讨论了手术步骤要点,分析了手术疗效。再出血的原因认为是减压不够满意,并决定于食管静脉曲张的程度。神经系统出现的症状与肝功能和吻合口径的大小关系密切。肝功能对手术的疗效是重要的决定因素。

此一术式具有下列优点,切口短,组织损伤少。显露较满意,通畅率较高。术后脑病发生较少,手术死亡率较低。使肠腔静脉分流术得到简化。

(获1980年北京市科技成果三等奖)

职业性真菌病

史志澄 雷鹏程 陈学荣

(北京医科大学第三医院)

本研究通过多年来的现场调查、临床观察、真菌培养,以及免疫学检查(包括对流免疫电泳检测血清沉淀素抗体、血清IgE、A、M、D的测定),证实和发现畜牧场饲养员、农村割季节的农民、丝绸厂缫丝车间工人、绒毯厂皮毛清洗和平整工,土法生产硝胺炸药工人、粮仓工人,以及啤酒厂和制药厂生产酶制剂工人可患职业性真菌病,并对其中35例进行了临

床分析和总结。

通过对上述临床病例类型的分析和研究，提出职业性真菌病分成两大类。一类属真菌的直接感染，多侵犯皮肤、眼结膜和呼吸道；一类属过敏变态反应，表现为发冷发烧、全身不适或支气管哮喘。

本研究着重指出，随着工农业的发展，作为生物性因素之一的职业性真菌病将日益增多，应引起工业卫生职业病医师和有关临床科室医师的重视。特别是农业、林业、皮毛、制药、酿造、造纸等接触真菌机会较多的行业，应加强对职业性真菌病的防治。

(获1980年北京市科技成果三等奖)

真皮脂肪瓣移植术在眼窝整形中的应用

赵光喜 吴惠群

(北京医科大学第三医院眼科)

眼球摘出术后眼窝塌陷，假眼不能动转，常常给患者带来很大痛苦。作者于眼窝整形术中采用了真皮脂肪瓣移植术。手术适应征为眼球摘出当时即作真皮脂肪瓣移植术，以期改善术后眼窝塌陷畸形；修复长期眼球摘出术后的眼窝畸形，包括同时合并下穹窿变浅、睑球粘连、结膜囊缩窄等，取得了预期的效果。

从79年10月至80年7年共做真皮脂肪瓣移植术45例，其中眼球摘出真皮脂肪瓣移植术16例、长期眼球摘出后眼窝塌陷畸形12例，眼窝塌陷合并睑球粘连6例，眼窝塌陷合并穹窿变浅及结膜囊缩窄8例。年龄11~49岁，其中20~29岁20例，30~39岁13例。除2例因年龄较小全麻外，其他病例均于局麻下手术。真皮脂肪瓣均取自两侧下腹部。术后观察时间为8~16个月，观察1年以上有照片记录的12例，观察10~12个月的20例。

术后原眼窝塌陷均有明显改善，假眼各方向均稍能活动。

在讨论中作者强调要缩短真皮脂肪瓣的疗程必须改善其血运，具体措施为将四条直肌缝合于真皮瓣的相应位置上；并将真皮脂肪瓣埋于球结膜下。术后观察过程中发现真皮脂肪瓣也有轻度吸收现象，约10%左右，减少真皮脂肪瓣吸收程度的具体方法为在腹部切取真皮脂肪瓣时尽量保护脂肪小叶；植入眼窝时动作轻捷、避免粗暴。真皮脂肪瓣移植术后有一定程度的收缩现象。可于术后结膜囊内放置弥补物预防之。

手术过程中遇到以下三种并发症各1例：(1)眼——心反射 应立即取出真皮脂肪瓣，切除部分脂肪组织后重新放入，直至症状消退。或减少眼肌的牵拉。(2)出血，眼眶内止血不完善所致。术中要注意充分止血 否则引起眶内血肿，影响真皮脂肪瓣成活。(3)感染，误用过期消毒缝线所致。及时拆除缝线、抗菌素治疗后控制。由于脂肪对感染的抵抗能力很差，应予重视。

(获1980年北京市科技成果三等奖)

中西医结合治疗胆道手术后残余结石

刘国礼 张宝善 李雅舫 孙占琪 邢墨如 佟效贡

(北京医科大学第一医院外科)

我院自1977年起 综合使用“总攻”排石疗法、局部加压冲洗、溶石液灌注和取石网取石四种非手术方法 治疗胆道手术后残余结石患者十三例(到八〇年底可达二十例)。治疗效果较国内现有报告者为好。治疗率达90%以上。无合并症发生、国外无类似资料可比。本文所使用的取石网与可导向胆道导管为我院自行设计与制作(目前已由江苏省吴县高分子实验工厂制作),较国外的器械小巧 经济,较国外便宜、相当国外产品价格的1/8。此种器械取石,在国内是首创。

本文曾在1979年全国中西医结合胆道疾病科研成果经验交流会议上报告,获得好评,认为把四种方法有机地结合起来,为进一步解决胆道手术后残留结石问题提供了有益的经验。

(获1980年北京市科技成果三等奖)

卵巢肿瘤8274例分类及预后有关因素分析

康映渠 刘书文 沈祝莹 毛兰影 唐素恩 连利娟* 唐敏一*

(北京医科大学第一医院妇产科)

(首都医院)

调查北京市八个医院1962—1978年26,267例妇科肿瘤住院病人患病率,及各种恶瘤的相对变化,宫颈癌和绒癌下降,卵巢及宫体癌上升,卵巢癌为发病第二位,死亡第一位。

复查病理,应用改进的WHO分类法对8,274例卵巢肿瘤进行分析研究,原发性97.9%,继发性2.1%,恶瘤中上皮性54.7%,生殖细胞19.0%,性腺间质为11.8%,非特异性间质18.2%,转移性为12.7%,讨论了各类肿瘤的分类特点及变化。

上皮性癌的五年存活率,69年以前227例为37.3%。69年以后252例,为48.6%,文中分析了分期,手术彻底与否等同预后的关系,手术治疗是各种治疗的重要因素,也是进一步进行化疗或放疗的基础。

* 首都医院

儿童弱视治疗

刘家琦 郭静秋

(北京医科大学第一医院眼科)

弱视患者没有完善的立体视觉,而弱视又必须早期发现和治疗,(最好在学龄前,成年后则治疗无望)。因此防治弱视对实现四化及实行计划生育极为重要。北医一院眼科于80年6—7月普查了幼儿园 ≥ 4 岁的1934名儿童(初筛),经散瞳验光后(复筛)发现8%有弱视(国外为2—3%,国内尚无报导)。由此可见,我们急待治疗的弱视儿童为数可观,研究儿童弱视问题刻不容缓。

我们复习了十五年的有关文献,综合各家的治疗优点,结合我国具体情况,制定出各种不同的治疗方案。根据检查及记录完整并随访观察(平均19+月)的274例的总结,弱视治疗率(视力 ≥ 1.0)占54.74%,显效率(视力0.6—0.9)29.2%,进步率(视力0.2—0.5)占10.95%,总有效率(视力进步两行以上)为95%。

影响疗效的因素,(一),年令最小组的疗效(63.87%治疗率)最高($P < 0.02$);(二)轻度弱视的疗效远比中度及重度者优越($P < 0.001$);(三)、中心注视的治疗率比旁中心者高($P < 0.01$)。

远期疗效及复发问题:国外报导仅有44%能维持疗效。本文的150只视力 ≥ 1.0 的治疗眼中,经平均19+的随访,78.67%视力维持不变;8%视力下降但经短期治疗又恢复正常;另有13.33%视力减退但没有降到治疗前的水平。

本文曾在全国眼科学术会议大会宣读,其报导的例数多,随访时间长,疗效高,复发率低均居国内领先地位。

急性缺血性脑血管病时血小板聚集性观察

高素荣 张海林 曾国玲 贾钟 程时*

(北京医科大学第一医院神经内科)

电镜检测 70 例急性缺血性脑血管病的小血小板聚集型和聚集数,与对照组相比有显著差异。发现血小板聚集性与血脂、高血压无明显的关系,但同神经体征有关。用川芎嗪和罂粟碱治疗,仅疗程结束后1—1.5月血小板聚集性方明显下降。但无效组则仍增高。认为血小板聚集性高不能完全以脑组织损害直接反应解释。而可能是急性缺血性脑卒中发病的一个重要因素。

脑血栓与脑供血不全为常见病,近年来发现血小板聚集性高在其发病上可能有意义,但多数检查方法为体外聚集性,本方法为查体内循环血小板聚集性,更接近于体内血小板功能状态,研究急性缺血性脑血管病血小板功能及其在本病发病及预后上的意义,有助于进一步研究提高防治本病的措施,尤其对脑供血不全(TIA)者,可作为一项追踪指标,以研究防止脑血栓形成的措施。

*北京医科大学基础医学院生物物理教研室

特异性免疫沉淀法检测血清中

HBV Dane 颗粒 DNA 聚合酶

陶其敏 杜绍材 冯百芳 李新富 王金琪 刘玉贞

(北京医科大学肝病研究所)

乙型肝炎患者血清中DNA聚合酶(DNAP)的检测可作为判断体内是否有Dane颗粒存在及其繁殖程度的灵敏指标。在乙型肝炎的流行病学、病毒学及发病机理、乙型肝炎疫苗的研究工作中检测DNAP非常重要。

我们于1977年建立了用超速离心法检测DNAP, 1980年我们又建立利用免疫复合物的原理在待检血清中加过量抗-HBs, 使血清中HBsAg包括Dane颗粒形成特异性抗原抗体复合物沉淀下来, 再经Pronase E及NP-40处理, 使Dane颗粒外壳打开 DNAP 释放而进行检测。此法由于不用超速离心, 时间缩短, 所需标本量少, 成本降低因此便于推广普及。

(1980年获北京市科技成果三等奖)

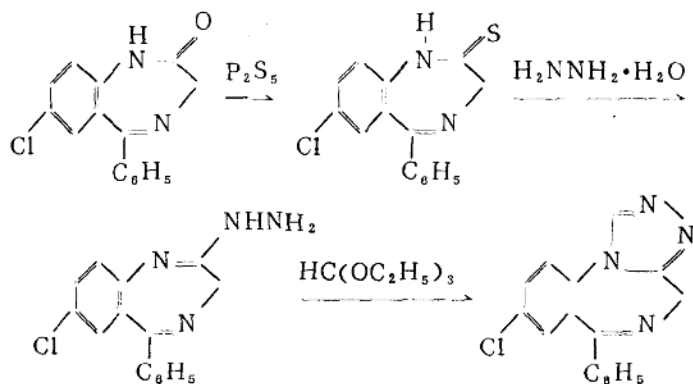
镇静催眠药三唑氯安定的合成

管 作 武

(药 学 院)

三唑安定, 化学名: 8-氯-6-苯基-4H-1,2,4-均三唑[4,3-a-(1,4)苯并二氮杂䓬], 是一种新型的安眠、镇静、抗惊厥药物。

关于其合成方法文献报导较多, 但一般步骤较多、所用原料品种多, 产品收率低。我们采用如下合成路线进行试制, 取得了成功。



硫化反应文献报导反应在吡啶进行,收率仅达10%。我们改变溶剂、增加催化剂、收率提高到84%。肼解反应条件要求高、产物不稳定,我们采用肼解环合“一炔烩”取得了成功,简化了操作,提高了收率。若以7-氯-5-苯基-1,4-苯并二氮杂萘酮计算,总收率可达50%以上。产品经元素分析、核磁、质谱分析,所得数据与文献报导一致。

该产品于1980年湖北省医药局、卫生局组织并通过了鉴定,山西省大同制药厂采用我们的工艺路线投入了批量生产、经济效益显著。

(获1980年北京市科技成果三等奖)

北京恶性肿瘤地图集

周锦波、陶素婧、费植荣

(北京市肿瘤防治研究所流行病学研究室)

刘培桐、赵淑梅、褚广荣

(北京师范大学地理系)

“北京恶性肿瘤地图集”是根据1974~1976年北京市三年死亡调查结果,对其中八种常见恶性肿瘤(食管癌、肺癌、胃癌、肝癌、宫颈癌,白血病、乳腺癌、直肠癌)进行了流行病学分析。通过统计地图形式来直观地显示上述八种恶性肿瘤在北京十八个区县的地区分布,人群分布及其分布规律,可以获得文学或统计表格等所不能表达的效果,是描述流行病学研究的一种方法和手段。图的表示形式参考了目前国内外制作专题地图的经验,并根据不同肿瘤的分布特征有所创新。前五种肿瘤是以等值线图同时配以百分位数法的五级分级统计图表示。白血病、乳腺癌,直肠癌则以点法和分级统计图表示。看图的背页附以流行病学分布的主要统计分析资料。为了进一步探讨环境方面的有关流行因素,图集的前半部提供了有关地理条件图,其中有北京行政区划、人口密度、地势、土壤、气候、近郊环境污染,医疗网图。本图集为肿瘤防治研究工作的基础资料,特别是肿瘤流行病学,病因学研究不可缺少的依据,同时对医学教学单位及有关学科的研究工作也具有一定的实用价值。这一图集的出版将为我市肿瘤防治研究工作填补一项空白。将有助于国内和国际间的交流。

(获北京市1980年科技成果三等奖)

乙型肝炎疫苗的研究及有关分析测试方法技术的建立

陶其敏 冯百芳 王金琪 刘玉贞 李新富 杜绍财

(北京医科大学肝病研究所)

1975年7月1日研制出第一批乙型肝炎疫苗以来(当时国内外均无资料),以后经过不断摸索进行了五次大的改革,最后方法为:应用健康乙肝表面抗原携带者的血清硫酸铵提取,再经氯化钾及蔗糖密度梯度超速离心,用1%甲醛灭活后将游离甲醛透析掉,最后加入佐剂制成疫苗。这一方法特点:①产量提高:一次产量由原来几十毫升增加至数千毫升;②纯度

提高：蛋白含量由最初370g/ml降至40~90 μ g/ml；③由三次超速离心减至二次，且投入血清量增加，提高超速离心机使用效率4.5倍；④用溴化钾代替氯化铯，一次离心即可降低成本4000元；⑤加入佐剂增强了免疫效果，经少量人群免疫接种，抗-HBs阳性率可达84.7%以上；⑥经数年观察约5000人无不良反应。此项工作在日本、巴黎等国际乙型肝炎疫苗学术讨论会上进行介绍受到好评。于1981年11月17日在北京市科委和北京医科大学的主持下通过成果鉴定，到会专家认为其制作方法与国际同类产品制作方法基本一致，在国内来说是最早的；也是先进的，结合我国国情，减少了超速离心机使用，降低了成本有经济价值，各种试验证明达到纯度要求，一般细菌培养及毒力试验未发现问题，无热源反应，经北京、广西等地少量人群免疫接种证明安全有一定免疫效果无副作用。为今后乙型肝炎的预防、母婴传播的阻断，控制HBV的感染及携带率提供了重要的手段。

与此同时建立的从HBsAg阳性血清中提取HBeAg用于固相免疫法检测抗-HBe及提取乙肝病毒DNA的新方法有关专家一致认为在国内技术方法上有所改进及创新，简化了超离部分的复杂方法，为提取HBeAg的来源找到了新的途径，应用该法提取的HBeAg来检测抗-HBe在国内尚属首次，并与尸肝纯HBeAg作比较取得了相关的结果。用免疫复合物方法所获得的HBV DNA，从电镜等均证实且收量也是满意的，为今后遗传工程学、疫苗及病毒分子生物学等研究打下了可喜的基础。对今后研究乙肝的流行病学、临床诊治等均提供了一定手段。

（主要协作单位：北京医科大学内科肝病组；妇产科；北京医科大学流行病学教研组；广西医学院流行病学教研组；启东肝癌防治研究所流行病组）

（获1981年北京市科技成果一等奖，）

致病的自由生活阿米巴

易有云

（北京医科大学原虫室）

本成果共包括三篇论文：

1. 致病的自由生活阿米巴（文献综述）
2. 原发性棘阿米巴脑膜脑炎一例报告
3. 福氏纳格勒阿米巴原发性脑膜脑炎小鼠模型的建立

致病的自由生活阿米巴直至本世纪六十年代才被认为可能是潜在致病的，此后，很多国家先后发现病例，公认为是二十世纪新发现的疾病之一，迄今已报告一百余例。我国直至1973年才发现第一例，患儿经过四个医院，都被误诊，尸检中从脑切片找到阿米巴才确诊为原发性阿米巴脑膜脑炎。从流行病学、免疫学及病原形态学诊断确定虫种为卡氏棘阿。

第一篇论文中，作者收集大量文献，对病原学、临床学及流行病学作了系统综述。第二篇论文的作者对我国首次发现的病例追查了过去的接触史、发病经过及就诊情况，整理出完整的流行病学史、临床表现、实验诊断及病理资料，供同道参考。第三篇论文的作者将引进的一株阿米巴制成小鼠动物模型，供科研借鉴。此组论文所述，在我国均系首次。

（获1981年卫生部乙级成果奖，）

LH—RH抗生育作用的机理研究

李伟雄，袁其晓，张友南等。

(北京医科大学基础医学院生理教研室)

自1976年开始为研究大剂量LH—RH做为一种抗生育的新手段，利用我国自行合成的LH—RH类似物进行了较系统的研究。在研究中较早地发现¹²⁵I-标记的LH—RH除了可特异地和垂体结合外还可以和卵巢，子宫及心肌发生特异性结合，提示了在垂体外，还有LH—RH受体的存在。通过研究工作提出了我们关于大剂量LH—RH抗早孕机理的模型。我们认为尽管在卵巢存在LH—RH受体，但大剂量LH—RH引起动物流产主要是通过垂体，而不是直接通卵巢的。我们实验表明LH—RH可以引起垂体释放大量LH，后者可以抑制卵巢3 β 脱氢酶。利血平可以阻断LH的释放，因而可以拮抗大剂量LH—RH的抗生育作用。当垂体大量分泌LH时由于卵巢3 β 脱氢酶活性下降，卵巢孕酮合成减少，导致血中孕酮下降。孕酮是早孕蜕膜反应所必需的一种激素，当血中孕酮浓度下降到某一临界点就导致蜕膜退化坏死从而导致流产。给予外源性孕酮可阻断LH—RH抗早孕作用。

本实验室还较早发现LH—RH在小鼠无抗生育作用。在大鼠除了皮下注射外，由侧脑室或子宫局部注射也可导致抗生育的效果。

(获1981年卫生部乙级成果奖，1981年北京市学术成果奖)

实验性心肌梗塞心肌内血管的变化

夏家驹 陶平 李学愚 田琬

(北京医科大学基础医学院解剖教研室)

芦廷荣

(北京医科大学基础医学院病理解剖教研室)

本研究采用66只家兔，结扎心脏左冠状动脉前降支，制成实验性心肌梗塞模型。术后定期描记心电图，按实验所需时期，分成不同组别、定期处死，在心脏的左、右冠状动脉内注射墨汁明胶液，切成不同厚度的切片或注射钽油进行x线造影。并用50只实验家兔的心脏作组织切片，用苏木精伊红、磷钨酸苏木素、Masson氏三色及Von Gieson氏等多种染色方法进行病理学检查。观察了心肌梗塞不同时期的微血管演变过程，血管的形态特点、口径、吻合和密度等。研究其修复过程的规律、特点，特别注意了病理改变与血管的关系。

实验研究结果：

实验性心肌梗塞变化规律：①梗塞初期（1~4天）：梗塞区内在造影片上不显示血管或仅有少量不规则的血管，梗塞区周围的血管出现初步扩张；心电图多数显示典型的心肌梗塞波形；病理改变为心肌凝固性、贫血性坏死，但仍有岛状存活心肌，以心内膜下方及乳头肌、肉柱等处存活心肌较明显。梗塞区内可见各种类型的血管断面，有的管壁坏死；有的管壁仅有轻度变性；有的残留下结构正常的血管；心肌窦间隙存活颇多。②梗塞中期（5~20